



特点

- 全扩散工艺
- 平板型陶瓷管封装
- 双面冷却

典型应用

- 大功率变流器
- 焊接设备
- 电机控制和驱动
- 充电设备

| V _{RRM} | 型号 |
|------------------|---------------|
| 1600V | ZP1000A凸1600V |

| 符号 | 参数 | 测试条件 | 结温 T _J (°C) | 参数值 | | | 单位 | |
|----------------------|------------|---|---------------------------|------|----|-----------|------|----------------------------------|
| | | | | 最小 | 典型 | 最大 | | |
| I _{F(AV)} | 正向平均电流 | 180° 正弦半波, 50Hz 双面散热, T _c =85°C | 150 | | | 1000 | A | |
| I _{T(RMS)} | 通态平均电流 | | 150 | | | 1570 | A | |
| V _{RRM} | 反向重复峰值电压 | V _{DRM} &V _{RRM} tp=10ms | 150 | 1600 | | | V | |
| I _{RRM} | 反向重复峰值电流 | V _{RM} =V _{RRM} | 150 | | | 80 | mA | |
| I _{FSM} | 正向不重复浪涌电流 | 10ms 底宽, 正弦半波 | 150 | | | 19 | KA | |
| I ² t | 浪涌电流平方时间积 | V _R =0.6V _{RRM} | | | | | 1805 | 10 ³ A ² S |
| V _{TO} | 门槛电压 | | 150 | | | 0.86 | V | |
| r _T | 斜率电阻 | | | | | | 0.16 | mΩ |
| V _{FM} | 通态峰值电压 | I _{TM} =3000A, F=9.0KN | 150 | | | 2.0 | V | |
| I _{rm} | 反向恢复电流 | I _{TM} =3000A, tq=1000us | 150 | | | 90 | A | |
| t _{rr} | 反向恢复时间 | Di/dt=-20A/us. | | | | | 4.2 | us |
| Q _{rr} | 恢复电荷 | V _r =50V | | | | | 189 | uC |
| R _{th(j-h)} | 热阻抗(结至散热器) | 180° 正弦波, 双面散热 压紧力 15KN | | | | 0.02 0 | °C/W | |
| F _M | 安装力 | | | 19 | | 26 | KN | |
| T _{stq} | 储存温度 | | | -40 | | 200 | °C | |
| W _t | 质量 | | | | | | g | |
| Outline | 外形 | | | | | | | |

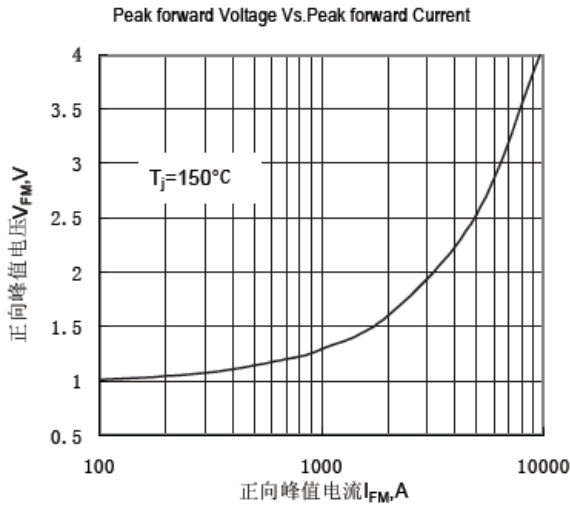


Fig.1 通态伏安特性曲线

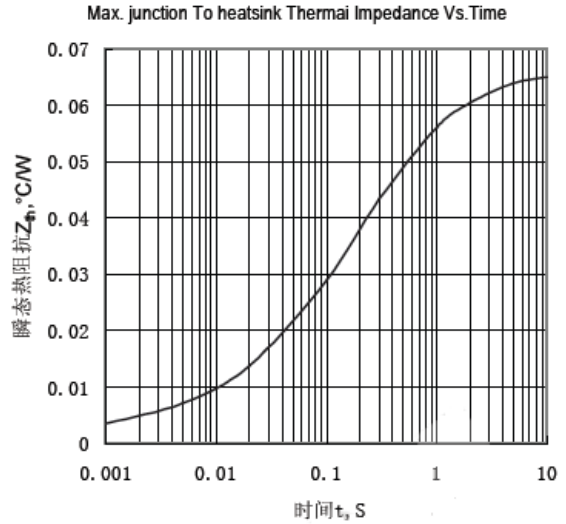


Fig.2 结至散热至瞬态热阻抗曲线

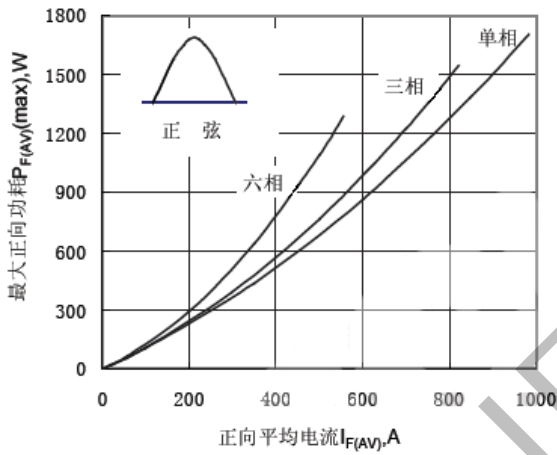


Fig.3 最大功耗与平均电流关系曲线

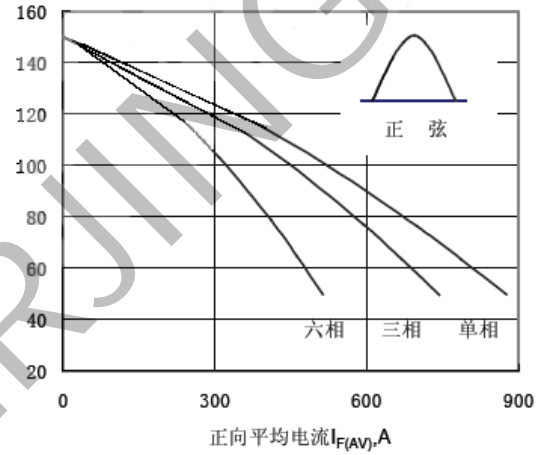


Fig.4 散热至温度与通态平均电流关系曲线

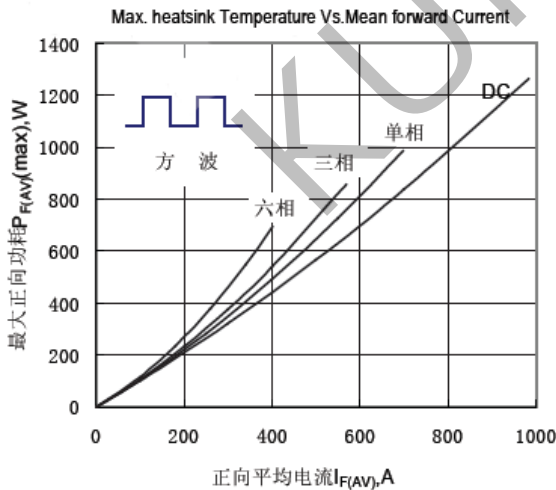


Fig.5 最大功耗与平均电流关系曲线

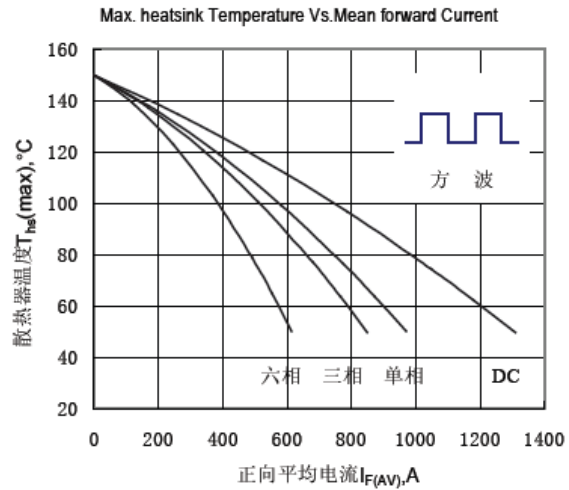


Fig.6 散热至温度与通态平均电流关系曲线

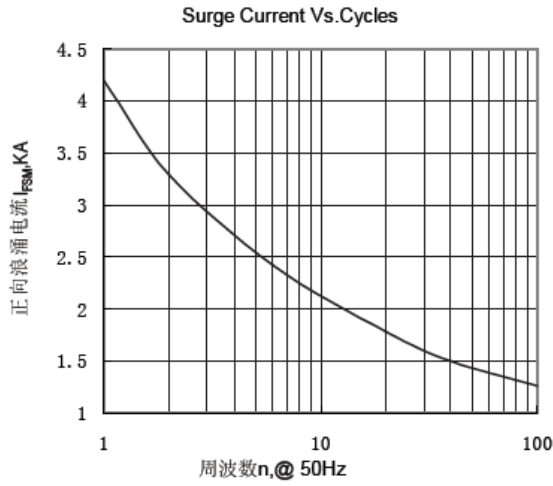


Fig.7 通态浪涌电流与周波数的关系曲线

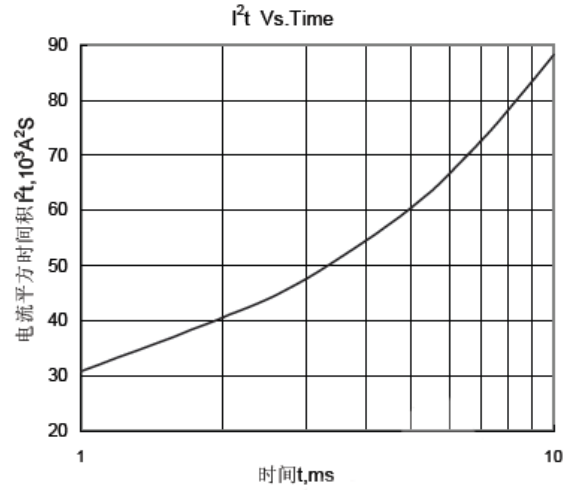


Fig.8 I²t 特性曲线

外形图:

